

### Comm: Ist. Suore di S.Giuseppe (Roma)- Cant.: Via Luciani n°81 – S.B. Del Tronto (AP)

Instrument: TEP-0040/01-09

Start recording: 13/09/10 14:20:38 End recording: 13/09/10 14:34:39

Channel labels: NORTH SOUTH; EAST WEST ; UP DOWN

GPS location: 013°53.0999 E, 42°56.5833 N (3.7 m )

UTC time (synchronized to the first recording sample): not available in this acquisition mode + 0 samples

Satellite no.: 04

Trace length: 0h14'00". Analysis performed on the entire trace.

Sampling frequency: 128 Hz

Window size: 20 s

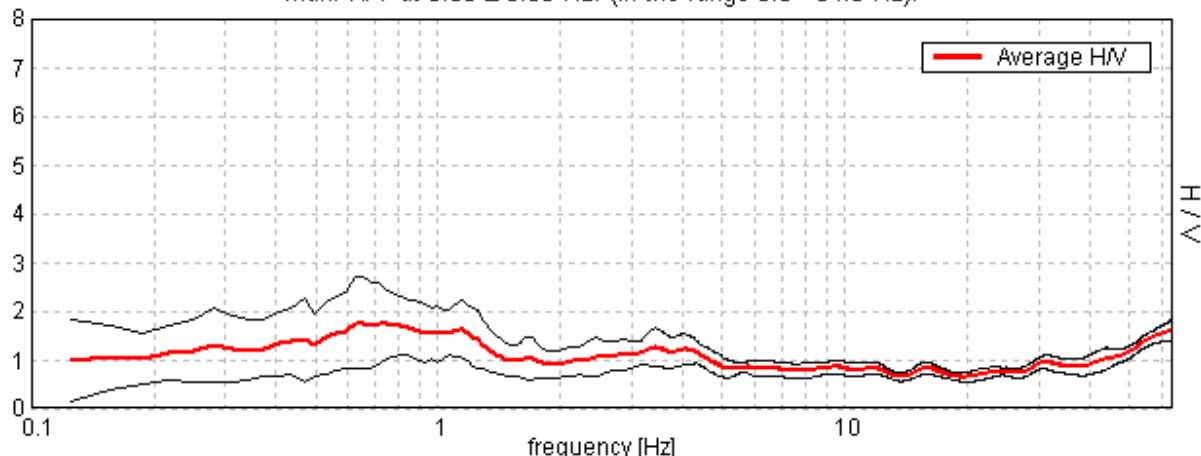
Smoothing window: Triangular window

Smoothing: 10%

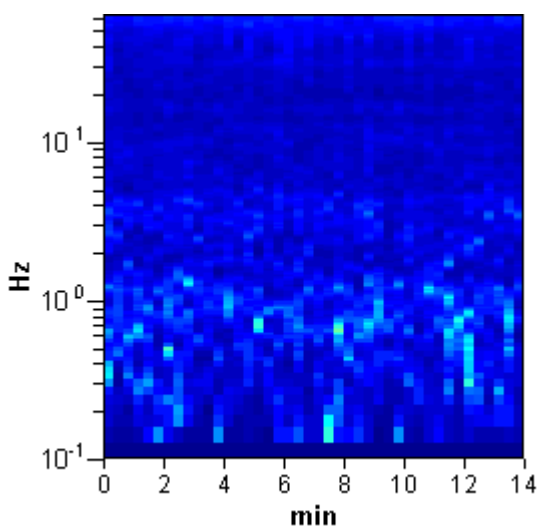


#### HORIZONTAL TO VERTICAL SPECTRAL RATIO

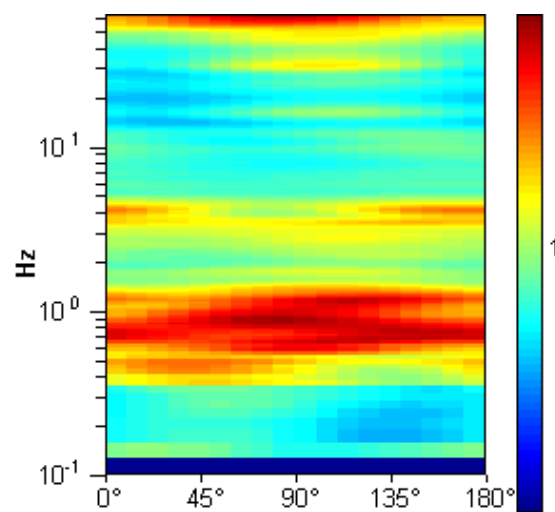
Max. H/V at  $0.63 \pm 0.05$  Hz. (In the range 0.0 - 64.0 Hz).



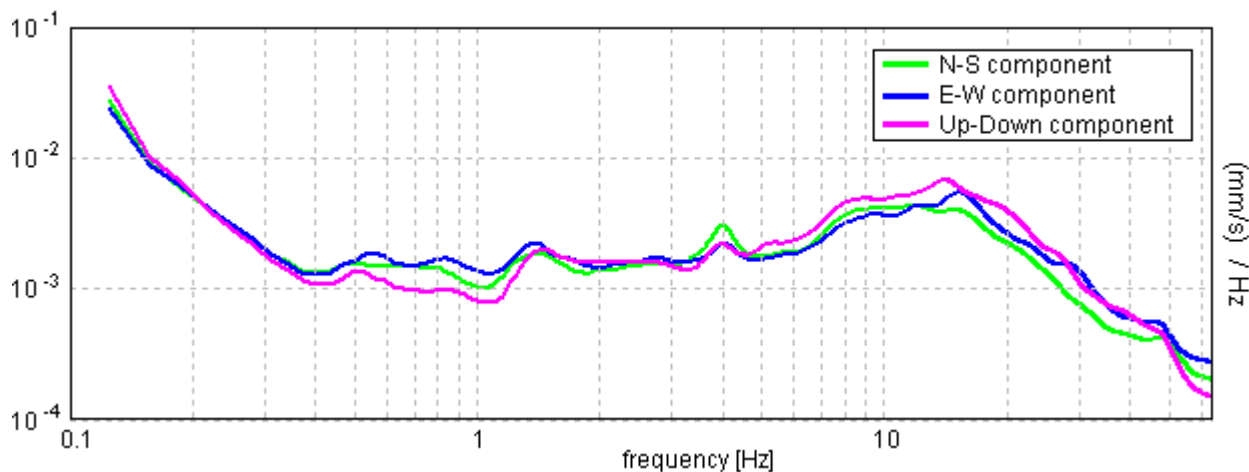
#### H/V TIME HISTORY



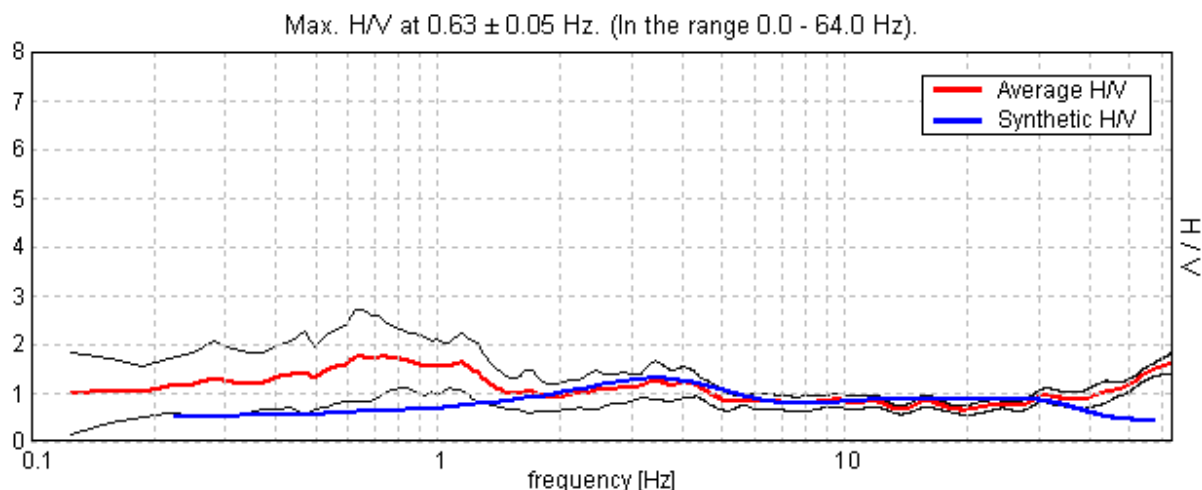
#### DIRECTIONAL H/V



### SINGLE COMPONENT SPECTRA

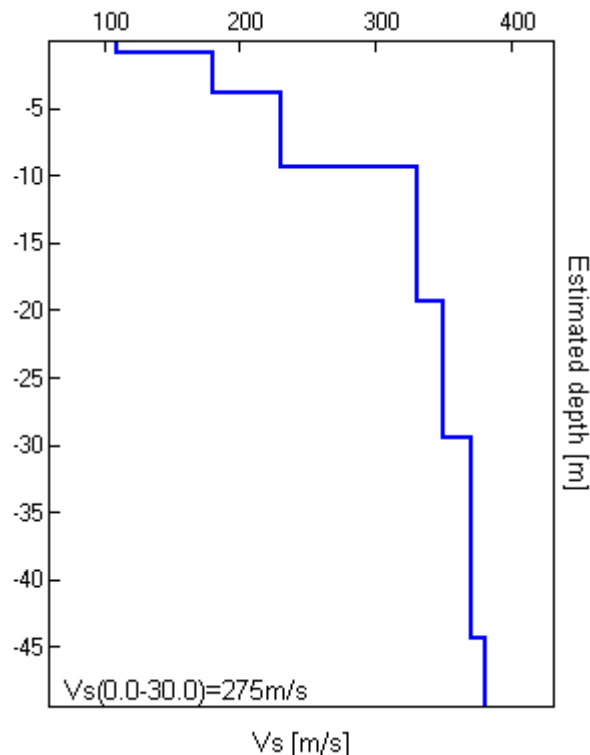


### EXPERIMENTAL VS. SYNTHETIC HV



Depth at the bottom of the layer [m]	Thickness [m]	Vs [m/s]	Poisson ratio
0.90	0.90	110	0.35
3.90	3.00	180	0.35
9.40	5.50	230	0.35
19.40	10.00	330	0.35
29.40	10.00	350	0.35
44.40	15.00	370	0.35
inf.	inf.	380	0.35

$$Vs(0.0-30.0)=275\text{ m/s}$$



Categorie di suolo di fondazione ai sensi del decreto 20/03/2003	
A	Formazioni litoidi o suoli omogenei molto rigidi caratterizzati da valori di $V_{S30}$ superiori a 800 m/s, comprendenti eventuali strati di alterazione superficiale di spessore massimo pari a 5 m
B	Depositi di sabbie o ghiaie molto addensate o argille molto consistenti, con spessori di diverse decine di metri, caratterizzati da un graduale miglioramento delle proprietà meccaniche con la profondità e da valori di $V_{S30}$ compresi tra 360 m/s e 800 m/s (ovvero resistenza penetrometrica $N_{SPT} \geq 50$ o coesione non drenata $c_a \geq 250$ kPa)
C	Depositi di sabbie e ghiaie mediamente addensate, o di argille di media consistenza, con spessori variabili da diverse decine fino a centinaia di metri, caratterizzati da valori di $V_{S30}$ compresi tra 180 m/s e 360 m/s ( $15 \leq N_{SPT} \leq 50$ , $70 \text{ kPa} \leq c_a \leq 250 \text{ kPa}$ )
D	Depositi di terreni granulari da sciolti a poco addensati oppure coesivi da poco a mediamente consistenti, caratterizzati da valori di $V_{S30}$ minori di 180 m/s ( $N_{SPT} < 15$ , $c_a < 70 \text{ kPa}$ )
E	Profili di terreno costituiti da strati superficiali alluvionali, con valori di $V_{S30}$ simili a quelli dei tipi C o D e spessore compreso tra 5 m e 20 m, giacenti su di un substrato di materiale più rigido con $V_{S30}$ superiore ad 800 m/s
S1	Depositi costituiti da, o che includono, uno strato spesso almeno 10 m di argille/limmi di bassa consistenza, con elevato indice di plasticità ( $PI > 40$ ) e contenuto d'acqua, caratterizzati da valori di $V_{S30}$ minori di 100 m/s e $10 \text{ kPa} \leq c_a \leq 20 \text{ kPa}$
S2	Depositi di terreni soggetti a liquefazione, di argille sensitive, o qualsiasi altra categoria di terreno non classificabile nei tipi precedenti.



NOTA:la categoria di sottosuolo viene stabilita in funzione del valore di Vs30 calcolato a partire dalla quota del Piano Campagna

#### Commento sul profilo delle velocità.

L'analisi del profilo delle velocità mostra una successione di terreni caratterizzati da:

**sismostroto 1:** ha uno spessore complessivo di m.9,40 riconducibile alla copertura alluvionale.

**sismostroto 2 :**da a m. 9,40 Esso inizia probabilmente al passaggio dai depositi alluvionali alla porzione superficiale e maggiormente alterata della formazione.

[According to the Sesame, 2005 guidelines. Please read carefully the *Grilla* manual before interpreting the following tables.]

**Max. H/V at  $0.63 \pm 0.05$  Hz (in the range 0.0 - 64.0 Hz).**

#### Criteria for a reliable HVSR curve

[All 3 should be fulfilled]

$f_0 > 10 / L_w$	$0.63 > 0.50$	OK	
$n_c(f_0) > 200$	$525.0 > 200$	OK	
$\sigma_A(f) < 2$ for $0.5f_0 < f < 2f_0$ if $f_0 > 0.5\text{Hz}$ $\sigma_A(f) < 3$ for $0.5f_0 < f < 2f_0$ if $f_0 < 0.5\text{Hz}$	Exceeded 0 out of 31 times	OK	

#### Criteria for a clear HVSR peak

[At least 5 out of 6 should be fulfilled]

Exists $f^-$ in $[f_0/4, f_0]$   $A_{H/V}(f^-) < A_0 / 2$	0.783 Hz	OK	
Exists $f^+$ in $[f_0, 4f_0]$   $A_{H/V}(f^+) < A_0 / 2$			NO
$A_0 > 2$	$1.75 > 2$		NO
$f_{peak}[A_{H/V}(f) \pm \sigma_A(f)] = f_0 \pm 5\%$	$ 0.03817  < 0.05$	OK	
$\sigma_f < \varepsilon(f_0)$	$0.02386 < 0.09375$	OK	
$\sigma_A(f_0) < \theta(f_0)$	$0.462 < 2.0$	OK	

$L_w$	window length
$n_w$	number of windows used in the analysis
$n_c = L_w n_w f_0$	number of significant cycles
$f$	current frequency
$f_0$	H/V peak frequency
$\sigma_f$	standard deviation of H/V peak frequency
$\varepsilon(f_0)$	threshold value for the stability condition $\sigma_f < \varepsilon(f_0)$
$A_0$	H/V peak amplitude at frequency $f_0$
$A_{H/V}(f)$	H/V curve amplitude at frequency $f$
$f^-$	frequency between $f_0/4$ and $f_0$ for which $A_{H/V}(f^-) < A_0/2$
$f^+$	frequency between $f_0$ and $4f_0$ for which $A_{H/V}(f^+) < A_0/2$
$\sigma_A(f)$	standard deviation of $A_{H/V}(f)$ , $\sigma_A(f)$ is the factor by which the mean $A_{H/V}(f)$ curve should be multiplied or divided
$\sigma_{\log H/V}(f)$	standard deviation of $\log A_{H/V}(f)$ curve
$\theta(f_0)$	threshold value for the stability condition $\sigma_A(f) < \theta(f_0)$

#### Threshold values for $\sigma_f$ and $\sigma_A(f_0)$

Freq.range [Hz]	< 0.2	0.2 – 0.5	0.5 – 1.0	1.0 – 2.0	> 2.0
$\varepsilon(f_0)$ [Hz]	$0.25 f_0$	$0.2 f_0$	$0.15 f_0$	$0.10 f_0$	$0.05 f_0$
$\theta(f_0)$ for $\sigma_A(f_0)$	3.0	2.5	2.0	1.78	1.58
Log $\theta(f_0)$ for $\sigma_{\log H/V}(f_0)$	0.48	0.40	0.30	0.25	0.20